

УДК 532.529.5.013.4

© 1994 г. М. М. ХАСАНОВ

## ИССЛЕДОВАНИЕ УСТОЙЧИВОСТИ ФИЛЬТРАЦИИ ЖИДКОСТЕЙ С ЗАРОДЫШАМИ ГАЗА

Исследуется устойчивость стационарных режимов фильтрации жидкости с растворенным в ней газом в области давления насыщения. Показано, что при определенных режимах движения возможно возникновение периодических и стохастических автоколебаний, вызванных накоплением в пористой среде и последующим выносом мельчайших газовых пузырей, образующихся в результате снижения давления. Приведены результаты экспериментов, подтверждающих теоретические результаты.

Экспериментальные и теоретические исследования, проведенные в последнее время с газосодержащими жидкостями, показали, что в предпереходных условиях (т. е. в области давлений, превышающих давление насыщения, но близких к нему) реологические и релаксационные свойства газожидкостных систем во многом определяются наличием «микророзышей» — мельчайших газовых пузырьков, кооперативное действие которых проявляется при приближении к давлению насыщения [1—4]. Существование подобных образований предполагают также в теории кавитации, чтобы объяснить резкое уменьшение реальной кавитационной прочности по сравнению с теоретической [5, 6]. Некоторые оценки характеристик микророзышей получены в опытах по измерению скорости и коэффициента поглощения звука [3], кавитационных шумов [6] и дифракции лазерного пучка. Причины, ведущие к образованию розышей, и механизмы, обеспечивающие их стабильное существование, к настоящему времени до конца не выяснены.

Предпереходные явления могут быть объяснены в рамках теории Я. И. Френкеля, в соответствии с которой вблизи давления насыщения в жидкости имеется динамическая «популяция» розышей, образованная гетерофазными флуктуациями плотности газа [3]. Другие возможные причины, рассматриваемые в литературе, требуют надления газожидкостных систем некоторыми дополнительными свойствами. Ряд авторов считают, что существование стабильных розышей газа связано со следами поверхностно-активных веществ, которые адсорбируются на поверхности пузырька и создают пленку, упругость которой препятствует его схлопыванию [5, 6]. В работе [7] предполагается, что стабилизация пузырьков обеспечивается выделением на их поверхности пленок поверхностно-активных веществ с отрицательным поверхностным натяжением. Однако в рамках этой модели возникает проблема устойчивости поверхности раздела относительно малых отклонений от сферической формы. Стабилизация пузырьков может быть также связана со взаимодействием между ионами, адсорбированными на поверхности пузырька, и свободными ионами, находящимися в объеме жидкости [5].

В настоящей работе выделены уравнения, описывающие нестационарную фильтрацию газожидкостных систем в предпереходных условиях. Показано, что если скорость образования розышей газа достаточно велика, то стационарные режимы фильтрации могут стать неустойчивыми. При этом возникают

периодические автоколебания, усложнение которых может привести к детерминированному хаосу — сложным непредсказуемым движениям в отсутствие источников случайных шумов [8, 9]. Этот результат еще раз подтверждает, что стохастические колебания, возникающие при движении реологически сложных жидкостей со скоростями значительно ниже критических скоростей рейнольдсовой турбулентности, есть проявление детерминированного хаоса. Ранее эта связь отмечалась в работах [10, 11].

1. Уравнения нестационарной фильтрации. Анализ экспериментальных данных [1—4] позволяет предположить, что при движении газожидкостной смеси в направлении уменьшения давления происходит образование и рост микророзышей газа, часть из которых может быть вынесена фильтрационным потоком, а часть забивает наиболее узкие места пор, уменьшая тем самым проницаемость пористой среды.

Уравнение неразрывности записывается в виде

$$m\beta_0 \frac{\partial p}{\partial t} = - \frac{\partial v}{\partial x} \quad (1.1)$$

где  $m$  — пористость,  $\beta_0$  — сжимаемость пористой среды,  $v$  — скорость фильтрации, определяемая законом Дарси

$$v = - \frac{k(s)}{\mu} \frac{\partial p}{\partial x}$$

Здесь  $\mu$  — вязкость жидкости,  $k(s)$  — коэффициент проницаемости, зависящий от  $s$  — концентрации зародышей газа, адсорбированных на стенках пор. Для простоты зависимостью вязкости  $\mu$  от концентрации зародышей в объеме жидкости пренебрегаем.

Изменение числа микророзышей определяется уравнением

$$\frac{\partial s}{\partial t} = -\alpha s + q \quad (1.2)$$

где  $\alpha$  — коэффициент, определяющий скорость выноса микророзышей,  $q$  — скорость их воспроизводства.

Будем считать, что уже существующие зародыши являются центрами, на которых со скоростью, пропорциональной скорости уменьшения давления, образуются новые зародыши. Учитывая также время  $\tau$ , необходимое для роста и перераспределения микророзышей, получим соотношение

$$q(x, t) = -\alpha s(x, t - \tau) \frac{dp(x, t - \tau)}{dt} \quad (1.3)$$

где  $a$  — коэффициент пропорциональности,  $dp/dt$  — скорость изменения давления, определяемая выражением

$$\frac{dp}{dt} = \frac{\partial p}{\partial t} + \frac{v}{m} \frac{\partial p}{\partial x} \quad (1.4)$$

Первый член суммы (1.4) обычно мал [12], поэтому будем в дальнейшем им пренебрегать.

Из (1.1)—(1.4) следует, что фильтрация газожидкостных систем с микророзышами газа описывается системой уравнений

$$m\beta_0 \frac{\partial p}{\partial t} = \frac{\partial}{\partial x} \left[ \frac{k(s)}{\mu} \frac{\partial p}{\partial x} \right] \quad (1.5)$$

$$\frac{\partial s}{\partial t} + \alpha s = \left[ \varphi(s) \left( \frac{\partial p}{\partial x} \right)^2 \right], \quad (1.6)$$

$$\varphi(s) = \frac{ask(s)}{m\mu}, \quad [g]_t \equiv g(t - \tau)$$

Рассмотрим стационарные решения системы (1.5)—(1.6), удовлетворяющие граничным условиям

$$p|_{x=0} = p_1, \quad p|_{x=l} = 0 \quad (1.7)$$

и устойчивость этих стационарных решений.

Положив  $\partial p/\partial t = 0$ ,  $\partial s/\partial t = 0$ , получим из (1.5) и (1.6)

$$\frac{k(s)}{\mu} \frac{dp}{dx} = -v_0 = \text{const}, \quad \alpha s = \varphi(s) \left( \frac{dp}{dx} \right)^2$$

Эта система имеет очевидное решение  $s = 0$ ,  $p = p_0(x) = p_1(1 - x/l)$ , которому соответствует значение скорости фильтрации  $v_0 = k(0)p_1/\mu$ . Стационарные значения  $s$ , отличные от нуля, определяются из уравнения

$$k(s) = \alpha \mu v_0^2 / \alpha \quad (1.8)$$

Если уравнение (1.8) имеет решение, то стационарные решения системы (1.5)—(1.6) не единственны. Они представляют собой пространственные структуры, состоящие из «доменов» — областей с различными значениями  $s = s_i = \text{const}$ , характеризующихся постоянным градиентом давления  $\nabla p_i = -\sqrt{\alpha s_i/\varphi(s_i)}$ . Такие структуры рассматривались ранее в работах [13, 14]. Граничные условия (1.7) выполняются, если

$$-\sum_i \nabla p_i l_i = p_1, \quad \left( \sum_i l_i = l \right)$$

где  $l_i$  — суммарная протяженность «доменов» со значениями  $s = s_i$ .

Конкретизируем вид функции  $k(s)$ , приняв

$$k(s) = k_0 [\exp(-\gamma s^n) + G]$$

где  $\gamma$ ,  $n$ ,  $G$ ,  $k_0$  — положительные константы. Легко видеть, что при этом уравнение (1.8) может иметь только одно решение, которое мы будем обозначать через  $s_1$ .

Проведем линейный анализ устойчивости стационарных режимов фильтрации с однородным по  $x$  распределением микророзродышей. Пусть  $s' = s - s_1$ ,  $p' = p - p_0(x)$  — малые отклонения от стационарных значений ( $i=0$  или 1). Переходя к безразмерным переменным, получим из (1.5)—(1.7)

$$\Lambda \frac{\partial p'}{\partial t} = k_1(s_1) \frac{\partial^2 p'}{\partial x^2} - k_1'(s_1) \frac{\partial s'}{\partial x} \quad (1.9)$$

$$\frac{\partial s'}{\partial t} + s' = A_1 \left[ \varphi_1'(s_1) s' - 2\varphi_1(s_1) \frac{\partial p'}{\partial x} \right], \quad (1.10)$$

$$p'|_{x=0} = p'|_{x=1} = 0 \quad (1.11)$$

$$x \rightarrow \frac{x}{l}, \quad t \rightarrow \frac{t}{t_*}, \quad \tau \rightarrow \frac{\tau}{t_*}, \quad t_* = \frac{1}{\alpha}$$

$$s' \rightarrow \frac{s'}{s_*}, \quad s_* = \gamma^{-1/n}, \quad p' \rightarrow \frac{p'}{p_1}$$

$$k_1(s) = \exp(-s^n) + G, \quad \varphi_1(s) = sk_1(s)$$

$$A_1 = \frac{ak_0 p_1^2}{\alpha m \mu l^2}, \quad \lambda = \frac{m \mu \beta_0 l^2}{k_0 t_*}$$

где  $\lambda$  — безразмерное время пьезопроводности.

Разложив функции  $s'$  и  $p'$  в ряде Фурье

$$p' = \sum_{j=1}^{\infty} X_j(t) \sin(\mu_j x), \quad s' = Y_0(t) + \sum_{j=1}^{\infty} Y_j(t) \cos(\mu_j x)$$

где  $\mu_j = j\pi$  получим из (1.9) и (1.10)

$$\frac{dY_0(t)}{dt} + Y_0(t) = rY_0(t - \tau) \quad (1.12)$$

$$\lambda_j \frac{dZ_j(t)}{dt} + Z_j(t) = k_1'(s_j) Y_j(t) \quad (1.13)$$

$$\frac{dY_j(t)}{dt} + Y_j(t) = rY_j(t - \tau) - A_1 s_j Z_j(t - \tau) \quad (1.14)$$

$$Z_j = \mu_j k_1(s_j) X_j, \quad \lambda_j = \frac{\lambda}{k_1(s_j) \mu_j^2}, \quad j = 1, 2, \dots$$

$$r = A_1 \varphi_1'(s_j)$$

Характеристическое уравнение, полученное из (1.12) подстановкой  $Y_0 \sim e^{x\tau}$ , имеет вид

$$x + 1 - r \exp(-x\tau) = 0$$

Анализ этого уравнения показывает, что точка равновесия  $Y_0 = 0$  устойчива, если  $|r| < 1$ , апериодически неустойчива при  $r > 1$  и колебательно-неустойчива при  $r < -1$  и достаточно больших  $\tau$  [15]. Характеристическое уравнение, соответствующее системе (1.13), (1.14), записывается в виде

$$\lambda_j x^2 + (\lambda_j + 1)x + 1 - e^{-x\tau} [r(\lambda_j x + 1) - F] = 0 \quad (1.15)$$

$$F = 2A_1 k_1' s_j$$

Для его исследования воспользуемся методом  $D$ -разбиений [15], который заключается в выделении на плоскости параметров областей с различным порядком устойчивости. Области, в которых характеристическое уравнение  $k$  корней с положительной действительной частью, обозначаются символом  $D(k)$ . Поскольку границы этих областей соответствуют переходу корней через мнимую ось, то в параметрическом виде они могут быть определены, если в (1.15) положить  $x = i\omega$ . При этом получается система

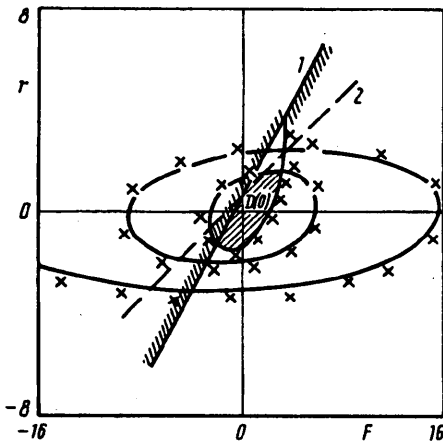
$$\begin{aligned} r(\cos \omega\tau + \lambda_j \omega \sin \omega\tau) - F \cos \omega\tau &= 1 - \lambda_j \omega^2 \\ r(\lambda_j \omega \cos \omega\tau - \sin \omega\tau) + F \sin \omega\tau &= (\lambda_j + 1)\omega \end{aligned} \quad (1.16)$$

определитель которой  $\Delta = \lambda_j \omega$  равен нулю при  $\omega = 0$ . Этому значению  $\omega$  соответствует особая прямая  $r = F + 1$ . При  $\omega \neq 0$  границы  $D$ -областей задаются уравнениями

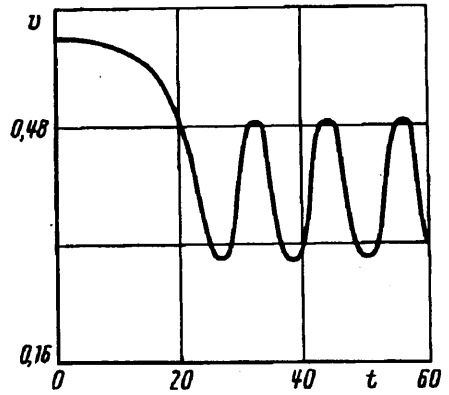
$$F = (1 + \lambda_j^2 \omega^2)(\omega \cos \omega\tau + \sin \omega\tau) \Delta^{-1}$$

$$r = [(1 - \lambda_j \omega^2) \sin \omega\tau + (\lambda_j + 1) \omega \cos \omega\tau] \Delta^{-1}$$

$$\lim_{\omega \rightarrow 0} F = F_0 = \tau + 1, \quad \lim_{\omega \rightarrow 0} r = F_0 + 1$$



Фиг. 1



Фиг. 2

Для примера на фиг. 1 показано  $D$ -разбиение, полученное при  $\tau = 5$  для значения  $\lambda = 2$ . Здесь прямые 1 и 2 представляет собой графики функций  $r = 1 + F$  и  $r = 1 + F/2$  соответственно. При нахождении области устойчивости  $D(0)$  использовано то обстоятельство, что точка  $F = 0, r = 0$  принадлежит ей, поскольку при этих значениях  $F$  и  $r$  оба корня уравнения (1.15) отрицательны.

При малых перепадах давления система (1.6)—(1.7) имеет единственное устойчивое стационарное решение, соответствующее значению  $s = 0$ . Увеличение перепада давления приводит к потере устойчивости этого решения. Поскольку при  $s = 0, F = 0$ , то это происходит при  $r = A(1 + G)$ . Одновременно появляется еще одно стационарное значение  $s = s_1$ , определяемое из уравнения

$$A_1 [\exp(-s_1^2) + G] = 1 \quad (1.17)$$

Это значение существует до тех пор, пока величина  $A_1$  не становится больше  $1/G$ . (Легко видеть, что при  $A_1 G > 1$  уравнение (1.17) не имеет решения.) В точке  $s = s_1$

$$r = A_1 (s_1 k_1(s_1))' = A_1 [k_1(s_1) + s_1 k_1'(s_1)] = 1 + F/2$$

и  $F < 0$ , поэтому это состояние всегда неустойчиво (см. фиг. 1). Таким образом, при  $A_1 > 1/(1 + G)$  система (1.5)—(1.7) не имеет устойчивых стационарных решений.

2. Численный анализ системы. Для того чтобы проанализировать особенности процессов фильтрации в области неустойчивости, вновь рассмотрим систему уравнений (1.5)—(1.6), которую можно переписать, используя ранее введенные переменные, в виде

$$\lambda \frac{\partial p}{\partial t} = \frac{\partial}{\partial x} \left[ k_1(s) \frac{\partial p}{\partial x} \right] \quad (2.1)$$

$$\frac{\partial s}{\partial t} + s = A_1 \left[ \varphi_1(s) \left( \frac{\partial p}{\partial x} \right)^2 \right], \quad (2.2)$$

$$p|_{x=0} = 1, \quad p|_{x=1} = 0 \quad (2.3)$$

Для простоты пренебрежем в уравнении (2.1) величиной  $\lambda$ . Это упрощение позволяет представить нестационарные процессы, описываемые моделью (2.1)—(2.3), в виде эволюции пространственных структур из доменов, в пределах каждого из которых концентрация микроразодышей и градиент давления постоянны.

Пусть  $[x_{i-1}, x_i]$  — интервал, занятый  $i$ -м доменом,  $s_i$  и  $\nabla p_i$  — концентрация микроразодышей и градиент давления в этом домене,  $0 = x_0 < x_1 < \dots < x_m = 1$ .

Из (2.1) при  $\lambda = 0$  получим цепочку равенств

$$k_1(s_1) \nabla p_1 = k_1(s_2) \nabla p_2 = \dots = k_1(s_m) \nabla p_m$$

или

$$k_1^*(s_1)(1 - p_1) = k_1^*(s_2)(p_1 - p_2) = \dots = k_1^*(s_m) p_{m-1} \quad (2.4)$$

$$p_i = p|_{x=x_i}, \quad k_1^*(s_i) = \frac{k_1(s_i)}{(x_i - x_{i-1})}$$

Решив систему (2.4) относительно  $p_i$  ( $i = 1, \dots, m-1$ ), можно представить  $\nabla p_i$  в виде функций величин  $s_1, s_2, \dots, s_m$ . Подставив эти значения  $\nabla p_i$  в (3.2), получим систему уравнений

$$\frac{ds_i}{dt} + s_i = A_1 \Phi_i(s_1(t-\tau), \dots, s_m(t-\tau)) \nabla p_i^2(s_1(t-\tau), \dots, s_m(t-\tau)), \quad i = 1, 2, \dots, m \quad (2.5)$$

которая является дискретным аналогом системы (2.1)—(2.3) в предположении малости времени пьезопроводности.

Для того чтобы выявить особенности поведения системы в области неустойчивости стационарных режимов фильтрации, были проведены численные расчеты при  $m = 2$ . Рассматривалась система двух уравнений

$$\frac{ds_1}{dt} + s_1 = A [s_1 k_1(s_1)(1-p)^2], \quad \frac{ds_2}{dt} + s_2 = A [s_2 k_1(s_2) p^2], \quad (2.6)$$

$$p = \left( \frac{k_1(s_2)}{k_1(s_1)} + 1 \right)^{-1}, \quad A = 4A_1$$

при следующих значениях параметров:  $n = 10$ ,  $G = 0,2$ ,  $\tau = 5$ .

Расчеты показали, что при  $A < A^{(1)} = 4/(1+G) = 3,33 \dots$  система (2.6) имеет устойчивую точку равновесия  $s_1 = s_2 = 0$ , которая соответствует стационарной фильтрации со скоростью фильтрации  $v = k_0 p_1 / \mu l$ .

При  $A > A^{(1)}$ , как показано выше, однородные по  $x$  распределения микророзродышей являются неустойчивыми. До тех пор пока величина  $A$  не достигнет некоторого критического значения  $A^{(2)} > A^{(1)}$ , система (2.6) имеет две устойчивые точки равновесия:  $s_1 = s_c$ ,  $s_2 = 0$  и  $s_1 = 0$ ,  $s_2 = s_c$ . То, какая из этих точек реализуется, зависит от начальных условий: к нулю стремится та величина  $s_i$ , которая в начальный момент времени меньше.

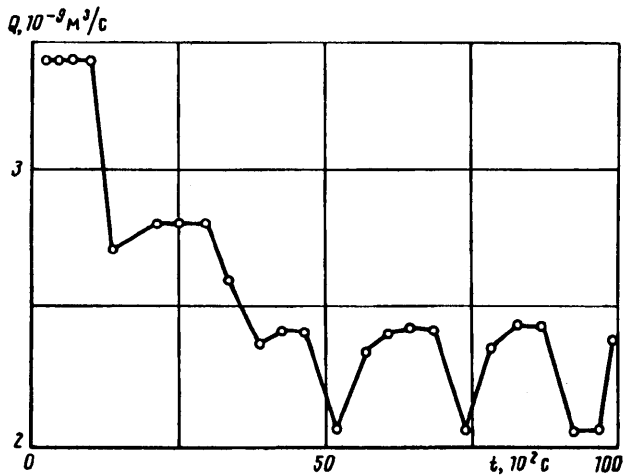
Таким образом, при  $A^{(1)} < A < A^{(2)}$  устанавливается стационарный режим фильтрации с неоднородным распределением микророзродышей.

При  $A > A^{(2)}$  рождаются два устойчивых предельных цикла, для которых одна из величин  $s_i$  равна нулю, а вторая периодически изменяется. На фиг. 2 приведен график зависимости скорости фильтрации от времени  $v = v(t)$ , полученный при  $A = 3,9$ .

При  $A = A^{(3)} > A^{(2)}$  начинается каскад бифуркаций удвоения периода, заканчивающийся при  $A \approx 4,3$  переходом к хаотическому движению.

Дальнейшее увеличение величины  $A$  через последовательность обратных бифуркаций Фейгенбаума приводит к переходу от странного аттрактора к предельному циклу, а затем вновь через последовательность удвоений периода — к хаотическому режиму колебаний, после чего притягивающей точкой становится бесконечность:  $s_1, s_2 \rightarrow \infty$ . Проявление последней цепочки бифуркаций, ведущей к хаосу, связано, видимо, с тем, что при  $AG(1-p)^2 > 1$  вновь существует только одно стационарное значение  $s = s_0 = 0$ .

**4. Выводы.** При малых перепадах давления скорость выноса микророзродышей газа превосходит скорость их воспроизводства, поэтому концентрация микророзродышей равна нулю. Увеличение перепада давления приводит к тому, что в пористой среде накапливаются микророзродыши, забивающие наиболее узкие места поровых каналов, что приводит к уменьшению расхода. При этом состоянии с однородным по пространству распределением микророзродышей



становятся неустойчивыми — происходит самопроизвольное разбиение на домены с различающимися значениями концентрации микророзродышей. Дальнейшее увеличение перепада давления приводит к возникновению автоколебаний, которые по сценарию М. Фейгенбаума переходят в динамический хаос.

Теоретические результаты, полученные выше, подтверждаются экспериментами, проведенными Г. Х. Меликовым (Азербайджанская гос. нефтяная академия), который исследовал колебания расхода жидкости  $Q$ , возникающие при фильтрации трансформаторного масла с растворенным в нем природным газом в предпереходных условиях. Для примера на фиг. 3 приведена кривая  $Q = Q(t)$ , полученная при значениях давления на входе и выходе модели пласта, равных 7 и 4,5 МПа (давление насыщения 3,7 МПа). Отметим качественную схожесть этой кривой с расчетной кривой, показанной на фиг. 2.

Автор выражает глубокую благодарность А. Х. Мирзаджанзаде за плодотворные идеи и обсуждение результатов.

#### СПИСОК ЛИТЕРАТУРЫ

1. Мирзаджанзаде А. Х., Максудов Ф. Г., Нигматулин Р. И. и др. Теория и практика применения неравновесных систем в нефтедобыче. Баку: Элм, 1985. 220 с.
2. Мамед-заде А. М., Мамед-заде Р. Б., Меликов Г. Х., Салаватов Т. Ш. Об эффекте зародышеобразования в гетерогенных средах и применение его в нефтедобыче//Оптимизация процессов нефтегазодобычи. Баку: АЗИНЕФТЕХИМ, 1987. С. 11—18.
3. Болотов А. А., Мирзаджанзаде А. Х., Нестеров И. И. Реологические свойства растворов газов в жидкости в области давления насыщения//Изв. АН СССР. МЖГ. 1988. № 1. С. 172—175.
4. Меликов Г. Х., Азизов М. Г. Экспериментальное исследование влияния релаксационных свойств газожидкостных систем на фильтрацию в неоднородных пористых средах//Изв. вузов. Нефть и газ. 1988. № 10. С. 35—38.
5. Кнэпп Р., Дейли Дж., Хаммит Ф. Кавитация. М.: Мир, 1974. 687 с.
6. Сиротюк М. Г. Упругость и прочность стабильных газовых пузырьков в воде//Акуст. журн. 1970. Т. 16. № 4. С. 567—569.
7. Буевич Ю. А. О докритическом образовании зародышей в жидкости с поверхностно-активным веществом (ПАВ)//Инж.-физ. журн. 1987. Т. 52. № 3. С. 394—402.
8. Неймарк Ю. И., Ланда П. С. Стохастические и хаотические колебания. М.: Наука, 1987. 423 с.
9. Мун Ф. Хаотические колебания. М.: Мир, 1990. 311 с.
10. Хасанов М. М., Язубов И. Н. О колебаниях расхода при фильтрации полимерных растворов//Инж.-физ. журн. 1990. Т. 59. № 2. С. 211—215.

11. *Ахатов И. Ш., Хасанов М. М., Хусаинов И. Г.* Авто- и стохастические колебания в гидродинамике неньютоновских жидкостей//ПММ. 1993. Т. 57. № 1. С. 71—76.
12. *Петрушевский Е. И., Разамат М. С.* О влиянии неравновесности на процесс выделения конденсата из газа//Изв. вузов. Нефть и газ. 1963. № 11. С. 61—66.
13. *Столин А. М., Худяев С. И.* Образование пространственно неоднородных состояний структурированной жидкости при сверханомалии вязкости//Докл. АН СССР. 1981. Т. 260. № 5. С. 1180—1184.
14. *Джумагазиева С. Х.* Численное исследование одного уравнения с частными производными//Журн. вычисл. математики и мат. физики. 1982. Т. 23. № 4. С. 839—847.
15. *Неймарк Ю. И.* Динамические системы и управляемые процессы. М.: Наука, 1978. 336 с.

Уфа

Поступила в редакцию  
12.1.1993